

Quantum Computation:

Zusammenfassung der 3. Vorlesung (06.05.2011)

1.2 Quantenrechner, unitäre Gatter

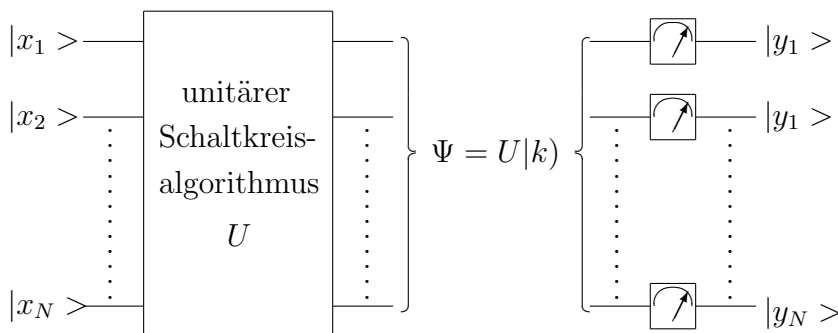
An die Stelle von Funktoren der Aussagenlogik treten bei Quantenrechnern unitäre Operatoren, weil die Manipulation der Qubitzustände durch äußere Wechselwirkungen der Schrödingerdynamik unterliegt. Die von 0 bis $N - 1$ nummerierten Elemente der Computerbasis schreiben wir in der Form

$$|k\rangle = |x_1 2^{N-1} + x_2 2^{N-2} + \dots + 2^0 x_N\rangle = |x_1 x_2 \dots x_N\rangle .$$

Da die Schrödingerdynamik reversibel ist, muss im Gegensatz zu klassischen Rechnern die Anzahl N der eingegebenen Qubits mit der Anzahl der resultierenden Qubits übereinstimmen. Eingegeben wird im Allgemeinen ein Zustand $|k\rangle$, der dem k -ten klassischen Wort entspricht. Das Ergebnis eines Rechnerlaufs wird durch Messung der Observablen

$$A = \sum_1^{N-1} k |k\rangle \langle k|$$

erhalten, das zufällig sein kann. Das Schema des Quantenrechners ist



1.2.1 Elementare unitäre Gatter, Universalität

Wie bei klassischen Algorithmen, lassen sich auch die unitären Algorithmen mit elementaren, 1-Qubit- und 2-Qubitgattern erzeugen.

1.2.1.1 1-Qubitgatter

An die Stelle der vier klassischen monadischen Gatter tritt die vierdimensionale Gruppe der unitären \mathbf{C}^2 Transformationen, die $U(2)$. Jede unitäre 2×2 -Matrix lässt sich in der Form [

$$U = e^{i\alpha} R, \quad \alpha \in \mathbf{R}, \quad R \in U(2)$$

schreiben. Die dreidimensionale Untergruppe der Spindrehungen, die $SU(2)$, wird von den Paulimatrizen erzeugt. Die zugehörigen Gatter heißen Pauli-Gatter:

$$\begin{array}{ccc} \begin{array}{c} \text{---} \boxed{X} \text{---} \\ \sigma_x = \begin{pmatrix} 0 & 1 \\ 1 & 0 \end{pmatrix} \end{array} & \begin{array}{c} \text{---} \boxed{Y} \text{---} \\ \sigma_y = \begin{pmatrix} 0 & -i \\ i & 0 \end{pmatrix} \end{array} & \begin{array}{c} \text{---} \boxed{Z} \text{---} \\ \sigma_z = \begin{pmatrix} 1 & 0 \\ 0 & -1 \end{pmatrix} \end{array} \end{array}$$

Sie sind hermitesch und unitär, haben aber die Determinante -1 . Mit i multipliziert gehören sie der $SU(2)$ an und stellen die Spindrehungen, d.h. die räumlichen Drehungen des Dralls, den wir durch den Blochvektor veranschaulicht haben, mit dem Winkel π in positiver Richtung um die jeweilige Koordinatenachse dar. Mit den Polarkoordinaten Θ und Φ der Drehachse $\mathbf{e}(\Theta, \Phi)$ und dem Drehwinkel φ ist das Gattersymbol für die allgemeine Spindrehung

allg. Spindrehung

$$\text{---} \boxed{R_{\vec{e}}(\varphi)} \text{---}$$

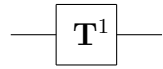
$$R_{\vec{e}}(\varphi) = e^{-i\frac{\varphi}{2}(\vec{e} \cdot \vec{\sigma})}$$

Die aufsummierte Exponentialreihe ist

$$R_{\vec{e}}(\varphi) = e^{-i\frac{\varphi}{2}(\vec{e} \cdot \vec{\sigma})} = \cos\left(\frac{\varphi}{2}\right)\mathbf{1} - i \sin\left(\frac{\varphi}{2}\right)(\vec{e} \cdot \vec{\sigma}).$$

Die Gatter der eindimensionalen Untergruppe der Phasenfaktoren, die Torusgruppe, heißen Torusgatter

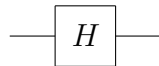
Torusgatter



$$e^{i\alpha} \begin{pmatrix} 1 & 0 \\ 0 & 1 \end{pmatrix}$$

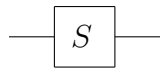
und entsprechen der Identität im klassischen Fall. Weitere ausgezeichnete Gatter sind:

Hadamard Gatter



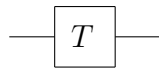
$$H = \frac{1}{\sqrt{2}} \begin{pmatrix} 1 & 1 \\ 1 & -1 \end{pmatrix}$$

Phasengatter



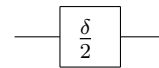
$$S = \begin{pmatrix} 1 & 0 \\ 0 & i \end{pmatrix}$$

$\frac{\pi}{8}$ -Gatter



$$T = \begin{pmatrix} 1 & 0 \\ 0 & e^{i\frac{\pi}{4}} \end{pmatrix}$$

$\frac{\delta}{2}$ -Gatter



$$\begin{pmatrix} 1 & 0 \\ 0 & e^{i\delta} \end{pmatrix}$$

Weshalb das Phasengatter auch $\frac{\pi}{4}$ -Gatter und T auch $\frac{\pi}{8}$ -Gatter genannt wird, hat möglicherweise historische Gründe: Man kann diese Matrizen auch als $SU(2)$ Matrizen mit dem entsprechenden Phasenfaktor schreiben. Wir werden diese Konvention bei der Definition des $\frac{\delta}{2}$ -Gatters beibehalten.

Wir betrachten nun die Wirkung der allgemeinen Spindrehungen,

$$R_{\vec{e}}(\varphi) = \cos\left(\frac{\varphi}{2}\right)\mathbf{1} - i \sin\left(\frac{\varphi}{2}\right)(\vec{e} \cdot \vec{\sigma}),$$

auf die Qubit Zustände etwas genauer. Mit Hilfe der Formel

$$(\vec{x} \cdot \vec{\sigma})(\vec{y} \cdot \vec{\sigma}) = (\vec{x} \cdot \vec{y})\mathbf{1} + i(\vec{x} \times \vec{y}) \cdot \vec{\sigma},$$

aus der zunächst

$$[(\vec{r} \cdot \vec{\sigma}), (\vec{e} \cdot \vec{\sigma})] = i(\vec{r} \times \vec{e} - \vec{e} \times \vec{r}) \cdot \vec{\sigma} = 2i(\vec{r} \times \vec{e}) \cdot \vec{\sigma}$$

und dann

$$\begin{aligned} (\vec{e} \cdot \vec{\sigma})(\vec{r} \cdot \vec{\sigma})(\vec{e} \cdot \vec{\sigma}) &= (\vec{e} \cdot \vec{\sigma})((\vec{e} \cdot \vec{\sigma})(\vec{r} \cdot \vec{\sigma}) + 2i(\vec{r} \times \vec{e}) \cdot \vec{\sigma}) \\ &= \vec{r} \cdot \vec{\sigma} - 2(\vec{e} \times (\vec{r} \times \vec{e})) \cdot \vec{\sigma} \\ &= \vec{r} \cdot \vec{\sigma} - 2(\vec{r} - (\vec{e} \cdot \vec{r})\vec{e}) \cdot \vec{\sigma} \\ &= (2(\vec{e} \cdot \vec{r})\vec{e} - \vec{r}) \cdot \vec{\sigma}, \end{aligned}$$

berechnet man

$$\begin{aligned} R_{\vec{e}}(\varphi)(\vec{r} \cdot \vec{\sigma})R_{\vec{e}}^+(\varphi) &= \cos^2\left(\frac{\varphi}{2}\right)(\vec{r} \cdot \vec{\sigma}) + i \cos\left(\frac{\varphi}{2}\right) \sin\left(\frac{\varphi}{2}\right)[(\vec{r} \cdot \vec{\sigma}), (\vec{e} \cdot \vec{\sigma})] \\ &\quad + \sin^2\left(\frac{\varphi}{2}\right)(\vec{e} \cdot \vec{\sigma})(\vec{r} \cdot \vec{\sigma})(\vec{e} \cdot \vec{\sigma}) \\ &= \cos^2\left(\frac{\varphi}{2}\right)(\vec{r} \cdot \vec{\sigma}) - 2 \cos\left(\frac{\varphi}{2}\right) \sin\left(\frac{\varphi}{2}\right)(\vec{r} \times \vec{e}) \cdot \vec{\sigma} \\ &\quad + \sin^2\left(\frac{\varphi}{2}\right)(2(\vec{e} \cdot \vec{r})\vec{e} - \vec{r}) \cdot \vec{\sigma} \\ &= \cos(\varphi)(\vec{r} \cdot \vec{\sigma}) + (1 - \cos \varphi)(\vec{e} \cdot \vec{r})(\vec{e} \cdot \vec{\sigma}) \\ &\quad - \sin(\varphi)(\vec{r} \times \vec{e}) \cdot \vec{\sigma}. \end{aligned}$$

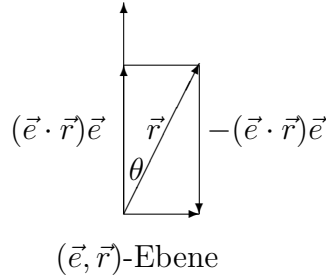
Damit folgt

$$R_{\vec{e}}(\varphi) \frac{1}{2}(\mathbf{1} + \vec{r} \cdot \vec{\sigma}) R_{\vec{e}}^+(\varphi) = \frac{1}{2}(\mathbf{1} + \vec{s} \cdot \vec{\sigma}),$$

wobei

$$\vec{s} = \cos(\varphi)(\vec{r} - (\vec{e} \cdot \vec{r})\vec{e}) + \sin(\varphi)(\vec{e} \times \vec{r}) + (\vec{e} \cdot \vec{r})\vec{e}$$

ist. Bedenkt man, dass die drei Vektoren \vec{e} , $(\vec{r} - (\vec{e} \cdot \vec{r})\vec{e})$, und $(\vec{e} \times \vec{r})$ paarweise orthogonal sind und in dieser Reihenfolge ein rechtsorientiertes System bilden, und ferner, dass $\|\vec{r} - (\vec{e} \cdot \vec{r})\vec{e}\| = \|\vec{e} \times \vec{r}\| = r \sin(\theta)$ gilt, wobei θ der von \vec{e} und \vec{r} eingeschlossene Winkel ist, dann sieht man leicht, dass der Blochvektor eine Drehung in positiver Richtung um die \vec{e} -Achse mit dem Winkel φ erfährt:



Die skizzierte Figur wird um den Winkel φ in der $((\vec{r} - (\vec{e} \cdot \vec{r})\vec{e}), (\vec{e} \times \vec{r}))$ -Ebene gedreht. Sei $D_{\vec{e}}(\varphi) \in SO(3)$ die Drehmatrix, die Drehungen um \vec{e} in positiver Richtung erzeugt, dann gilt also

$$\vec{s} = D_{\vec{e}}(\varphi)\vec{r} \quad \text{bzw.} \quad R_{\vec{e}}(\varphi)\frac{1}{2}(\mathbf{1} + \vec{r} \cdot \vec{\sigma})R_{\vec{e}}^{\dagger}(\varphi) = \frac{1}{2}(\mathbf{1} + (D_{\vec{e}}(\varphi)\vec{r}) \cdot \vec{\sigma}).$$

Topologisch ist die $SU(2)$ die zweifache und universelle Überlagerungsgruppe der $SO(3)$. Dies äußert sich auch darin, dass $R_{\vec{e}}(2\pi) = -\mathbf{1}$ und erst $R_{\vec{e}}(4\pi) = \mathbf{1}$ ist. Beim Blochvektor fällt der Phasenfaktor heraus und er transformiert sich nach der $SO(3)$. Dies macht nicht nur für reine Qubit-Zustände, $\|\vec{r}\| = 1$, sondern auch für statistische Gemische, $\|\vec{r}\| < 1$, Sinn, denn die Komponenten einer reinen Zerlegung unterliegen der Spindrehung, wobei die Mischungsverhältnisse unverändert bleiben.

In der Kreiseltheorie wird die Konfiguration eines starren Körpers mit einem raumfesten Körperpunkt durch die drei Eulerschen Winkel (Φ, Θ, Ψ) ausgedrückt. Dazu benötigt man nur Drehmatrizen, die Drehungen um die Koordinatenachsen eines cartesischen Koordinatensystems erzeugen. Der Einfachheit halber seien diese mit $D_x(\varphi)$, $D_y(\varphi)$ und $D_z(\varphi)$ bezeichnet. Die Drehmatrix, die die Körperpunkte von einer Ursprungslage in die betrachtete Konfiguration abbildet, ist dabei

$$K(\Phi, \Theta, \Psi) = D_z(\Psi)D_x(\Theta)D_z(\Phi).$$

Dazu stellt man sich ein körperfestes Dreibein vor, das mit dem raumfesten in der Ursprungslage zusammenfällt. Der Körper wird zunächst mit dem Winkel Φ um seine z -Achse, dann um seine im Raum gedrehte x -Achse und schließlich um seine im Raum veränderte z -Achse in positiver Richtung gedreht. Wendet man dies auf die Punkte der Blochkugel als starren Körper an, dann transformiert sich ein Blochvektor \vec{r} mit den entsprechenden

Spindrehungen $R_z(\Phi)$, $R_x(\Theta)$ und $R_z(\Psi)$ nach

$$\vec{s} \cdot \vec{\sigma} = (K(\Phi, \Theta, \Psi)\vec{r}) \cdot \vec{\sigma} = R_z(\Psi)R_x(\Theta)R_z(\Phi)(\vec{r} \cdot \vec{\sigma})R_z^+(\Phi)R_x^+(\Theta)R_z^+(\Psi).$$

Auf dieser Grundlage beweist man den Satz, mit dessen Hilfe wir weiter unten zeigen werden, dass die 1-Qubitgatter zusammen mit einem bestimmten 2-Qubitgatter bereits eine universelle Menge elementarer Gatter bilden.

Satz: Sei $U \in U(2)$, dann gibt es Spindrehungen A , B und C und einen Phasenfaktor $e^{i\alpha}$, so dass

$$ABC = \mathbf{1} \quad \text{und} \quad e^{i\alpha}A\sigma_x B\sigma_x C = U$$

gelten.

Beweis: Die Gleichung $ABC = \mathbf{1}$ wird offensichtlich von

$$A := R_z(\Psi)R_y\left(\frac{\Theta}{2}\right), \quad B := R_y\left(-\frac{\Theta}{2}\right)R_z\left(-\frac{\Psi + \Phi}{2}\right), \quad C := R_z\left(-\frac{\Psi - \Phi}{2}\right)$$

erfüllt. Ferner gilt

$$\sigma_x B \sigma_x = \sigma_x R_y\left(-\frac{\Theta}{2}\right)\sigma_x \sigma_x R_z\left(-\frac{\Psi + \Phi}{2}\right)\sigma_x = R_y\left(\frac{\Theta}{2}\right)R_z\left(\frac{\Psi + \Phi}{2}\right),$$

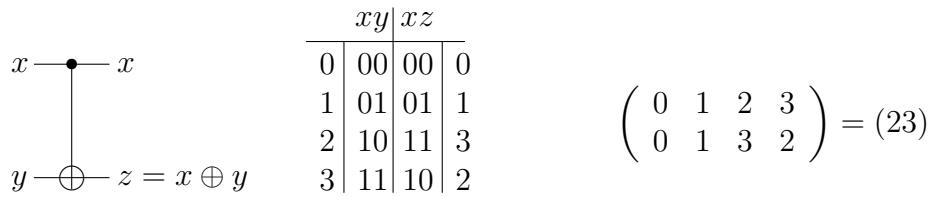
denn σ_x stellt eine Spindrehung mit dem Winkel π um die x -Achse der Blochkugel dar, die $\vec{e}_y \mapsto -\vec{e}_y$ und $\vec{e}_z \mapsto -\vec{e}_z$ zur Folge hat. Rechnerisch kann man das auch mit

$$\sigma_x R_y\left(-\frac{\Theta}{2}\right)\sigma_x = \sigma_x e^{i\frac{\Theta}{4}\sigma_y}\sigma_x = e^{i\sigma_x\frac{\Theta}{4}\sigma_x\sigma_y\sigma_x} = e^{-i\sigma_x\frac{\Theta}{4}\sigma_y} = R_y\left(\frac{\Theta}{2}\right)$$

und entsprechend für R_z bestätigen. Die behauptete Gleichung $e^{i\alpha}A\sigma_x B\sigma_x C = U$ folgt dann unmittelbar.

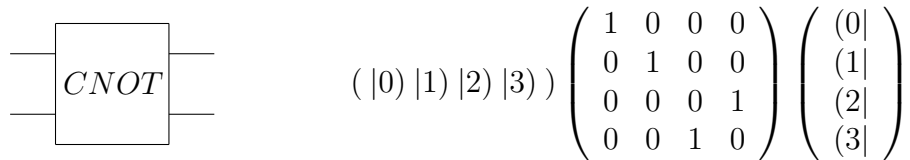
1.2.1.2 2-Qubitgatter

Bei gesteuerten Gattern werden ein oder mehrere Bits, die dabei unverändert bleiben, dazu benutzt, um einen Algorithmus zu steuern. Der einfachste Fall ist die gesteuerte Negation:



CNOT *Wahrheitstabelle* *erzeugte Permutation*

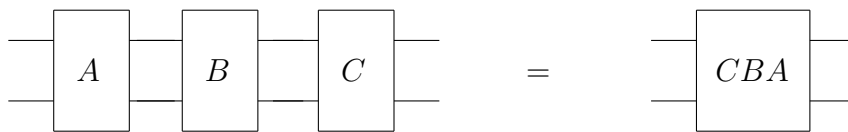
Dieses Gatter ist offenbar reversibel und erzeugt die Transposition (23) in der Permutationsgruppe S_4 . Auf die Basiselemente der Computerbasis angewendet, entsteht das unitäre *CNOT*-Gatter:



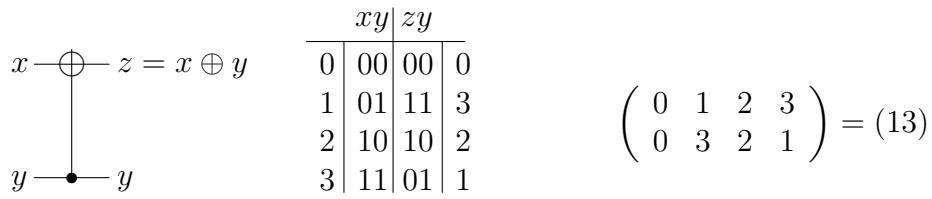
Es erzeugt im \mathbf{C}^2 die Transformation

$$\Psi = (|0\rangle |1\rangle |2\rangle |3\rangle) \begin{pmatrix} c_0 \\ c_1 \\ c_2 \\ c_3 \end{pmatrix} \mapsto (|0\rangle |1\rangle |2\rangle |3\rangle) \begin{pmatrix} 1 & 0 & 0 & 0 \\ 0 & 1 & 0 & 0 \\ 0 & 0 & 0 & 1 \\ 0 & 0 & 1 & 0 \end{pmatrix} \begin{pmatrix} c_0 \\ c_1 \\ c_2 \\ c_3 \end{pmatrix},$$

so dass für das Zusammensetzen von Gattern in Schaltkreisen die Rechenregel



gilt. Eine weitere gesteuerte Negation ist:



CNOT' *Wahrheitstabelle* *erzeugte Permutation*

in der Computerbasis wird sie durch die Permutationsmatrix

$$\begin{pmatrix} 1 & 0 & 0 & 0 \\ 0 & 0 & 0 & 1 \\ 0 & 0 & 1 & 0 \\ 0 & 1 & 0 & 0 \end{pmatrix}$$

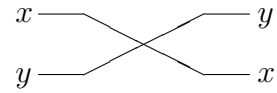
dargestellt. Man rechnet leicht nach, dass die Matrix zur folgenden Kombination von *CNOT*-Gattern



SWAP

ist. Dabei kann man eine Regel für die Multiplikation mit Permutationsmatrizen ausnutzen: Sei P eine Permutationsmatrix, d.h. in jeder Zeile sowie in jeder Spalte stehen außer Nullen genau eine Eins, und A eine andere Matrix. Bei Linksmultiplikation mit P werden lediglich die Zeilen von A permutiert, bei Rechtsmultiplikation lediglich die Spalten. Die betrachtete Gatterkombination erzeugt die Transposition (12). An der Wahrheitstabelle sieht man, dass dies einer Vertauschung der Qubits gleichkommt, wodurch der Name gerechtfertigt wird:

	xy	yx	
0	00	00	0
1	01	10	2
2	10	01	1
3	11	11	3



SWAP

Eine weitere Version der gesteuerten Verneinung entsteht dadurch, dass die Verneinung durch 0 ausgelöst wird:

	<table border="1" style="border-collapse: collapse;"> <thead> <tr> <th></th> <th>xy</th> <th>xz</th> <th></th> </tr> </thead> <tbody> <tr> <td>0</td> <td>00</td> <td>01</td> <td>1</td> </tr> <tr> <td>1</td> <td>01</td> <td>00</td> <td>0</td> </tr> <tr> <td>2</td> <td>10</td> <td>10</td> <td>2</td> </tr> <tr> <td>3</td> <td>11</td> <td>11</td> <td>3</td> </tr> </tbody> </table>		xy	xz		0	00	01	1	1	01	00	0	2	10	10	2	3	11	11	3	$\begin{pmatrix} 0 & 1 & 0 & 0 \\ 1 & 0 & 0 & 0 \\ 0 & 0 & 1 & 0 \\ 0 & 0 & 0 & 1 \end{pmatrix}$
	xy	xz																				
0	00	01	1																			
1	01	00	0																			
2	10	10	2																			
3	11	11	3																			

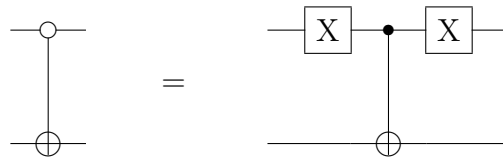
CNOT

Wahrheitstabelle

Permutationsmatrix

Die vorstehenden Versionen der gesteuerten Verneinung mit ihrer Kombination zum *SWAP*-Gatter enthalten die drei Transpositionen benachbarter Elemente von $(0\ 1\ 2\ 3)$. Damit können alle Permutationen der S_4 bzw. die 24 (4×4) -Permutationsmatrizen erzeugt werden.

Nun gilt offenbar:



Ferner folgt mit

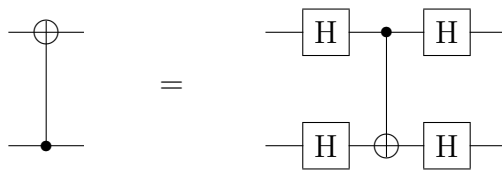
$$H \otimes H = \frac{1}{\sqrt{2}} \begin{pmatrix} H & H \\ H & -H \end{pmatrix},$$

dass

$$\frac{1}{2} \begin{pmatrix} H & H \\ H & -H \end{pmatrix} \begin{pmatrix} \mathbf{1} & \mathbf{0} \\ \mathbf{0} & X \end{pmatrix} \begin{pmatrix} H & H \\ H & -H \end{pmatrix} =$$

$$\frac{1}{2} \begin{pmatrix} H & H \\ H & -H \end{pmatrix} \begin{pmatrix} H & & & \\ \frac{1}{\sqrt{2}} \begin{pmatrix} 1 & -1 \\ 1 & 1 \end{pmatrix} & \frac{1}{\sqrt{2}} \begin{pmatrix} -1 & 1 \\ -1 & -1 \end{pmatrix} & & \\ & & & \end{pmatrix} = \begin{pmatrix} 1 & 0 & 0 & 0 \\ 0 & 0 & 0 & 1 \\ 0 & 0 & 1 & 0 \\ 0 & 1 & 0 & 0 \end{pmatrix}$$

gilt. Also gilt ferner:



Bis hierher zusammenfassend, können wir den folgenden Satz behaupten.

Satz: Mit den 1-Qubitgattern X , H und dem 2-Qubitgatter $CNOT$ können alle (4×4) Permutationsmatrizen erzeugt werden.

Die Aussage des Satzes ist von großer Bedeutung für die Implementation beliebiger unitärer Matrizen mitelementaren Gattern. Sie zeigt auch, dass reversiblen klassischen Gattern unitäre Quantengatter entsprechen.